

Université de Mons  
Faculté des Sciences  
Département d'Informatique  
Service d'Informatique Théorique

## **Résolution de jeux de sûreté joués sur graphes**

Directeur : M<sup>me</sup> Véronique BRUYÈRE

Mémoire réalisé par  
Florent HUYLENBROECK

Rapporteurs : M<sup>r</sup> Prénom NOM  
M<sup>r</sup> Prénom NOM

en vue de l'obtention du grade de  
Master en Sciences Informatiques



Année académique 2021-2022

# Remerciements

Nous remercions ...

# Table des matières

<b>1</b>	<b>Introduction</b>	<b>1</b>
<b>2</b>	<b>Jeux joués sur graphes</b>	<b>3</b>
2.1	Arènes . . . . .	3
2.2	Coups, parties et objectifs . . . . .	4
2.2.1	Jeux de sûreté . . . . .	4
2.2.2	Jeux d'atteignabilité . . . . .	4
2.3	Stratégies et ensembles gagnants . . . . .	5
<b>3</b>	<b>Cas fini</b>	<b>6</b>
3.1	Résolution via les attracteurs . . . . .	6
3.2	Algorithme . . . . .	9
3.2.1	Complexité . . . . .	11
3.2.2	Exemple . . . . .	13
<b>4</b>	<b>Cas infini</b>	<b>17</b>
	<b>Conclusion</b>	<b>18</b>
	<b>Annexes</b>	<b>20</b>
<b>A</b>	<b>Première annexe</b>	<b>20</b>
<b>B</b>	<b>Deuxième annexe</b>	<b>21</b>

# Chapitre 1

## Introduction

### Contexte

#### Définition du problème

Le problème du model-checking consiste à vérifier qu'un système informatique satisfait une spécification quand ceux-ci sont donnés sous la forme de modèles mathématiques. Des spécifications typiques sont : est-ce que le système peut atteindre un état de deadlock ? Est-ce qu'une requête reçoit toujours une réponse ? Les modèles utilisés peuvent varier : les comportements du système informatique peuvent être modélisés par un automate acceptant des mots infinis, tandis que la spécification peut être modélisée par une formule de logique temporelle LTL. Plutôt que de vérifier qu'un système informatique satisfait une spécification, on peut aller plus loin en envisageant la synthèse de contrôleur. Dans le but de définir les interactions d'un système informatique avec son environnement, on considère ici un graphe orienté dont les sommets sont partagés entre le système et l'environnement. Une interaction est alors un chemin infini dans le graphe tel qu'en tout sommet système (resp. de l'environnement), c'est lui qui décide quel arc suivra à partir de ce sommet. L'objectif du système est, par exemple, d'éviter un état de deadlock quoique fasse l'environnement, ou encore de répondre à une requête quoique fasse l'environnement. Pour y arriver, il a besoin d'une stratégie gagnante qui n'est rien d'autre qu'un programme de contrôle. La synthèse de contrôleur revient donc à construire (quand c'est possible) une stratégie gagnante (contre l'environnement) pour un objectif donné du système. Dans ce projet, on propose d'étudier ce problème de synthèse pour des jeux de sécurité joués sur graphes. Pour ces jeux, le système a pour objectif d'éviter de passer par certains sommets du graphe.

**Présentation et limitations des solutions existantes**

Quand le graphe est fini, il existe des algorithmes simples qui indiquent si le système peut y parvenir et qui dans ce cas indiquent comment jouer (voir par exemple le livre [1]). Quand le graphe est infini, l'article [2] propose un algorithme partiel qui utilise des SAT solveurs.

**Objectif du travail et idées principales**

Dans le cadre du projet, l'étudiant sera amené à comprendre ces algorithmes et à reproduire les expérimentations de l'article [2], et d'envisager une implémentation de calcul de stratégie grâce à la structure de données "binary decision diagrams" [3,4]

**Brève description du contenu, chapitre par chapitre**

## Chapitre 2

### Jeux joués sur graphes

Dans ce chapitre, nous allons présenter les jeux joués sur graphes.

#### 2.1 Arènes

Une *arène* est un graphe  $A = (V_0, V_1, E)$  composée de deux ensembles disjoints, non-vides de sommets  $V_0$  et  $V_1$ , avec  $V_0 \cup V_1 = V$ , et d'un ensemble d'arcs  $E \subseteq V \times V$ . De plus, chaque sommet d'une arène doit posséder au moins un successeur dans l'arène.

Voici un exemple d'arène :

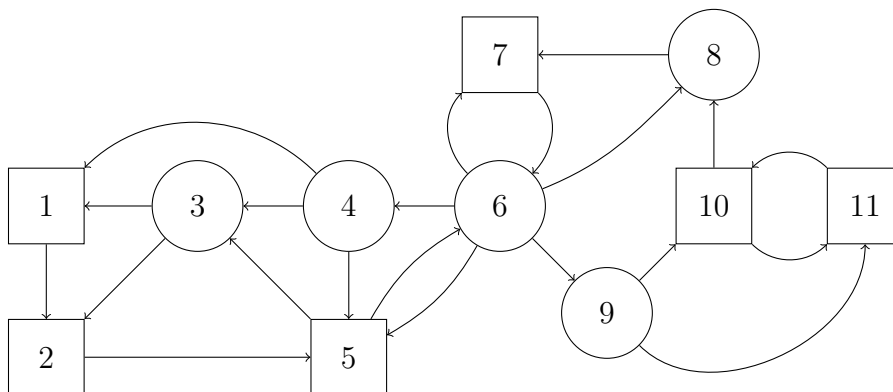


FIGURE 2.1 – Exemple d'une arène

L'ensemble  $V_0$  est représenté par les sommets carrés,  $V_1$  par les sommets ronds et  $E$  par les flèches reliant les sommets.

## 2.2 Coups, parties et objectifs

Au début de la partie, un *pion* est placé sur un sommet du graphe. Ce pion est un marquage d'un sommet de l'arène qui va être modifié tour à tour par les joueurs. Dans la suite de ce rapport, *déplacer le pion* référera à l'action de retirer le marquage du sommet courant, et de marquer un autre sommet du graphe.

Le jeu est joué par deux *joueurs* numérotés  $j_0$  et  $j_1$  qui déplacent le pion le long des arcs de l'arène. Le joueur qui déplace le pion est le joueur à qui appartient le sommet courant où se trouve le pion. Un *coup* est l'action d'un joueur de déplacer le pion le long d'un arc du graphe, depuis un sommet lui appartenant, vers un de ses successeurs.

Une séquence de coups forme une *partie*.

**Définition 2.2.1.** Une partie d'un jeu est une séquence infinie  $\pi = v_0v_1\dots$  où  $\forall i \in \mathbb{N}, v_i \in V$ , et  $(v_i, v_{i+1}) \in E$ .

L'objectif  $\Omega$  d'un jeu joué sur graphes est ce qui va définir la condition de victoire des joueurs. Dans ce rapport nous allons nous intéresser à deux types de jeux, les jeux de sûreté et les jeux d'atteignabilité. Les objectifs pour ces deux types de jeux sont définis par un sous ensemble  $F \subseteq V$ .

### 2.2.1 Jeux de sûreté

Un jeu de sûreté est défini par un tuple  $\mathfrak{G} = (A, F)$  avec  $A$  une arène et  $F \subseteq V$  un sous ensemble de sommets dits *sûrs*. L'objectif d'un jeu de sûreté est que tous les sommets visités lors de la partie soient des sommets sûrs.

**Définition 2.2.2.** Soit  $\mathfrak{G} = (A, F)$  un jeu de sûreté, une partie  $\pi = v_0v_1\dots$  est gagnante pour le joueur  $j_0$  si  $\forall i \in \mathbb{N}, v_i \in F$

### 2.2.2 Jeux d'atteignabilité

Un jeu d'atteignabilité est défini par un tuple  $\mathfrak{G} = (A, F)$  avec  $A$  une arène et  $F \subseteq V$  un sous ensemble de sommets à *atteindre*. L'objectif d'un jeu de sûreté est qu'au moins un sommet de  $F$  soit visité au cours de la partie.

**Définition 2.2.3.** Soit  $\mathfrak{G} = (A, F)$  un jeu d'atteignabilité, une partie  $\pi = v_0v_1\dots$  est gagnante pour le joueur  $j_0$  si  $\exists i \in \mathbb{N}, v_i \in F$

Les jeux d'atteignabilité sont complémentaires aux jeux de sûreté.

## 2.3 Stratégies et ensembles gagnants

Les coups des joueurs sont décidés par la *stratégie* adoptée par ces derniers. Une stratégie est une fonction  $s_{j_n} : V^*V_n \rightarrow V$  qui indique vers quel sommet le joueur  $j_n$  va déplacer le pion depuis le sommet courant  $v \in V_n$  selon la séquence de déplacement précédents.

Une stratégie peut être *sans mémoire*  $s_{j_n} : V_n \rightarrow V$  si elle ne prend en compte que le sommet actuel où se trouve le pion.

Une stratégie  $s_{j_n}$  est *gagnante* pour le joueur  $j_n$  si toutes parties jouées selon cette stratégie mènent à une victoire du joueur  $j_n$ .

**Définition 2.3.1.** Une partie  $\pi = v_0v_1\dots$  est dite jouée selon une stratégie  $s_{j_n}$  si  $\forall i \in \mathbb{N}, v_{i+1} = s_{j_n}(v_0v_1\dots v_i)$  et  $v_i \in V_n$

La notion de stratégie gagnante nous permet de définir un *ensemble gagnant*.

**Définition 2.3.2.** Soit  $\mathfrak{G} = (A, F)$  un jeu, avec  $A = (V_0, V_1, E)$ , l'ensemble gagnant  $W \subseteq V$  est l'ensemble  $W = \{v \in V \mid j_0 \text{ possède une stratégie gagnante à partir de } v\}$



## Chapitre 3

### Cas fini

Afin de résoudre les jeux de sûreté joués sur des graphes, nous allons distinguer les arènes possédant un nombre fini de sommet de celles en possédant un nombre infini.

**Définition 3.0.1.** *Une arène finie est une arène  $A = (V_0, V_1, E)$  pour laquelle  $V_0$  et  $V_1$  sont des ensembles finis.*

Dans cette section, nous allons définir la notion d'attracteur, et l'appliquer afin de calculer les régions gagnantes des arènes finies, afin d'en déterminer les stratégies gagnantes des deux joueurs. Nous allons aussi proposer un algorithme qui calcule les attracteurs d'une arène finie.

#### 3.1 Résolution via les attracteurs

Une méthode pour calculer les ensembles gagnants des jeux de sûreté et d'atteignabilité se base sur le principe d'attracteur.

**Définition 3.1.1.** *Soit un jeu  $\mathfrak{G} = (A, F)$  avec  $A = (V_0, V_1, E)$  une arène finie et  $F$  un sous ensemble de sommets tel que  $F \subseteq V$ , soit  $i \in \mathbb{N}$ , le  $i^e$  attracteur pour le joueur  $j_n$  est l'ensemble :*

$Attr_{j_n}^i = \{v \in V \mid \text{le joueur } j_n \text{ peut forcer une visite d'un sommet de } F \text{ depuis } v \text{ en } \leq i \text{ déplacements}\}$

Afin de construire cet objet en incrémentant la valeur de  $i$ , [1] nous donne la formule de construction par induction suivante :

$$\begin{aligned} Attr_{j_n}^0(F) &= F \\ Attr_{j_n}^{i+1}(F) &= Attr_{j_n}^i(F) \\ &\quad \cup \{v' \in V_n \mid \exists (v, v') \in E : v \in Attr_{j_0}^i(F)\} \\ &\quad \cup \{v' \in V \setminus V_n \mid \forall (v, v') \in E : v \in Attr_{j_0}^i(F)\} \end{aligned} \tag{3.1}$$

L'intuition derrière cette formule est la suivante :

En 0 coups, le joueur  $j_n$  ne peut forcer une visite d'un sommet de  $F$  que depuis un sommet de  $F$ . On a donc que l'attracteur de départ,  $Attr_{j_n}^0(F)$  ne contient que les sommets de  $F$ .

Ensuite, en incrémentant le nombre de coups, autrement dit la valeur de  $i$ , on va considérer l'ajout des sommets qui sont des prédecesseurs des sommets de l'attracteur courant, car ceux ci mettront, dans le pire des cas, un coup de plus à atteindre un sommet de  $F$ . Donc, si un sommet est prédecesseur d'un sommet de l'attracteur sans en faire partie lui-même, il y a deux possibilités (correspondant aux deux ensembles unis à  $Attr_{j_n}^i(F)$  dans la formule 3.1). Soit le sommet appartient à  $j_n$  et ce sera à lui de jouer un coup à partir de ce sommet. Il pourra ainsi décider de s'approcher d'un sommet de  $F$ . Il ne faut donc qu'un seul successeur dans l'attracteur courant pour être ajouté à l'attracteur suivant. Par contre si le sommet appartient au joueur opposé à  $j_n$ , alors il faut s'assurer que peu importe le coup qu'il joue, il se rapproche d'un sommet de  $F$ . Il est donc nécessaire que tous les successeurs du sommet soient dans  $Attr_{j_n}^i(F)$  pour quel sommet soit ajouté à l'attracteur suivant.

Par cette construction, on obtient une séquence d'attracteurs  $Attr_{j_n}^0(F) \subseteq Attr_{j_n}^1(F) \subseteq \dots$  laquelle sera fixe à partir d'une certaine itération  $k \leq |V|$  vu que  $V$  est un ensemble fini et qu'à chaque itération, au moins un sommet de  $V$  est ajouté à l'attracteur. On notera  $Attr_{j_n}(F) = \bigcup_{i=0}^{|V|} Attr_{j_n}^i(F)$

**Théorème 3.1.1.** *Pour un jeu d'atteignabilité, cette construction de l'attracteur pour  $j_0$  vers  $F$  donnera l'ensemble gagnant de  $j_0$ .*

**Preuve.** En effet on a que  $Attr_{j_0}(F) \subseteq W_0$  car

- $\forall v \in Attr_{j_0}^{i+1} \cap V_0, v$  possède un successeur dans  $Attr_{j_0}^i$ .
- $\forall v \in Attr_{j_0}^{i+1} \cap V_1$ , tous les successeurs de  $v$  sont dans  $Attr_{j_0}^i$ .
- $Attr_{j_0}^0(F) \subseteq F$

Donc  $j_0$  peut gagner la partie à partir de tous les sommets de  $Attr_{j_0}(F)$ . Il lui suffit, à chaque coups depuis un sommet de  $Attr_{j_0}^{i+1}(F)$ , de déplacer le pion vers un sommet dans  $Attr_{j_0}^i(F)$  afin de se rapprocher progressivement de  $Attr_{j_0}^0(F) \subseteq F$ , ce qui est possible par la manière dont est construit l'attracteur. Cette construction explique aussi que le joueur opposé sera forcé d'en faire autant. Cette stratégie est donc gagnante pour  $j_0$  depuis chaque sommet de l'attracteur.

Pour montrer que  $W_0 \subseteq Attr_{j_0}(F)$ , il faut montrer que  $j_0$  ne peut pas gagner la partie à partir d'un sommet hors de  $Attr_{j_0}(F)$ , autrement dit que  $j_1$  peut forcer le pion à rester en dehors de  $Attr_{j_0}(F)$  depuis tout sommet hors de  $Attr_{j_0}(F)$ .

Soit un sommet  $v \in V_1 \setminus Attr_{j_0}(F)$ , alors  $v$  possède au moins une arête  $(v, v')$  avec  $v' \notin Attr_{j_0}(F)$ , sinon on aurait  $v \in Attr_{j_0}(F)$ . La stratégie gagnante pour

$j_1$  est donc de déplacer le pion le long de cet arc afin de rester hors de l'attracteur. Soit un sommet  $v \in V_0 \setminus Attr_{j_0}(F)$ , alors toutes les arêtes  $v$  mènent vers un sommet hors de  $Attr_{j_0}(F)$ , sinon on aurait  $v \in Attr_{j_0}(F)$ .  $j_0$  ne peut donc pas entrer dans l'attracteur depuis ce sommet et ne peut donc pas forcer de visite d'un sommet de  $F$  depuis ce sommet. Ces deux cas étant exhaustifs, et ayant montré que  $j_0$  est contraint de rester hors de l'attracteur dans ces deux cas, on a bien que  $W_0 \subseteq Attr_{j_0}(F)$

L'inclusion étant vérifiée dans les deux sens, on en déduit  $W_0 = Attr_{j_0}(F)$ .  $\square$

Ainsi nous avons montré que l'on peut construire l'ensemble gagnant  $W_0$  du joueur  $j_0$  pour un jeu d'atteignabilité en utilisant le principe d'attracteur. On obtient aussi immédiatement l'ensemble gagnant  $W_1 = V \setminus W_0$  du joueur  $j_1$ . Chaque joueur peut gagner la partie à partir de chaque sommet de leur ensemble gagnant respectif en adoptant les stratégies énoncées ci-dessus. De plus, la dualité entre un jeu d'atteignabilité et un jeu de sûreté nous permet d'énoncer le théorème suivant :

**Théorème 3.1.2.** *Cette méthode de résolution pour les jeux d'atteignabilité permet aussi de résoudre les jeux de sûreté.*

**Preuve.** Soit un jeu de sûreté  $\mathfrak{G} = (A, F)$  avec  $A$  une arène finie. on construit  $Attr_{j_1}(V \setminus F)$ , autrement dit la liste de sommets depuis lesquels  $j_1$  peut forcer une visite d'un sommet hors de  $F$ . En adoptant la même stratégie que  $j_0$  dans un jeu d'atteignabilité, cet attracteur donne l'ensemble gagnant de  $j_1$  pour un jeu de sûreté. De manière analogue,  $j_0$ , en adoptant la stratégie du joueur  $j_1$  du jeu d'atteignabilité, ne pourra gagner le jeu de sûreté que depuis les sommets hors de cet attracteur.  $\square$

La figure suivante représente, en gris, l'ensemble gagnant du joueur  $j_0$  d'un jeu d'atteignabilité joué sur l'arène de la figure 2.1, avec  $F = \{1, 2, 11\}$ .

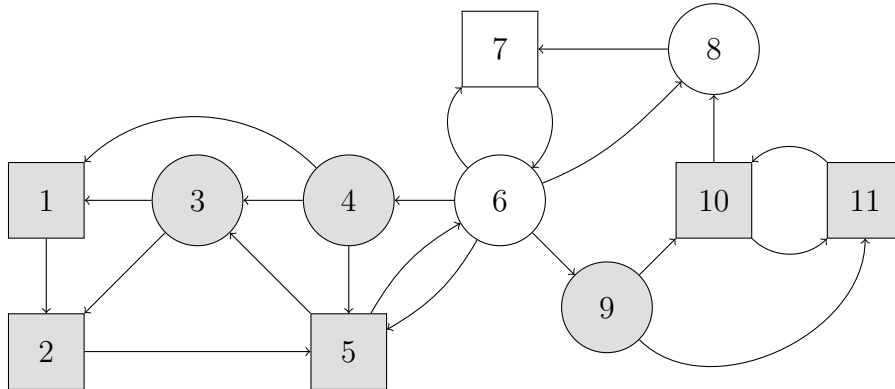


FIGURE 3.1 – Illustration d'un ensemble gagnant

## 3.2 Algorithme

Nous allons maintenant proposer un algorithme de calcul du  $i^e$  attracteur. Pour faciliter la lecture, l'algorithme sera découpé en 3 phases suivies d'explications.

---

### Algorithm 1 Attracteur

---

**Entrées** **G** : Graphe, structure de donnée composée d'un tableau à deux dimensions *predecessors* de prédecesseurs (la liste de prédecesseurs d'un noeud  $i$  est stockée à la  $i^e$  entrée du tableau) et une liste *players* (le  $i^e$  noeud appartient au joueur dont le numéro figure en  $i^e$  entrée de *players*).

**F** : Liste de numéro de sommets.

**p** : Numéro de joueur.

**i** : Nombre d'itération pour la construction de l'attracteur, une valeur négative calculera l'attracteur complet.

**Sortie**  $Attr_p^i(F)$

```

1: procedure ATTRACTOR( $G, F, p, i$ )
2:    $out\_degrees \leftarrow$  tableau de taille  $|G|$  ▷ Pré-traitement
3:   for  $j$  allant de 0 à  $|G| - 1$  do
4:     if  $G.players[j] \neq p$  then
5:       for  $pred$  in  $G.predecessors[j]$  do
6:          $out\_degrees[pred] \leftarrow out\_degrees[pred] + 1$ 
7:       end for
8:     end if
9:   end for

```

---

L'algorithme commence par une phase de pré-traitement au cours de laquelle on va calculer le *demi-degré extérieur* (le nombre d'arcs sortant) de chaque noeud n'appartenant pas au joueur  $p$ . Pour cela, on initialise une liste *out\_degrees* de la taille du nombre de noeuds du graphe. Ensuite, on parcourt le tableau des prédecesseurs du graphe  $G.predecessors$ . On incrémente l'indice de *out\_degrees* correspondant à chaque noeud rencontré dans ce tableau car s'il est prédecesseur d'un autre noeud, alors un arc en sort pour aller vers celui-ci.

---

```

10:   attractor  $\leftarrow$  tableau de taille  $|G|$  ▷ Initialisation
11:   for index in F do
12:       attractor[index]  $\leftarrow$  1
13:   end for
14:   attractor_new  $\leftarrow$  F

```

---

On initialise ensuite le tableau *attractor* qui va indiquer quels sommets sont marqués comme appartenant à l'attracteur courant. On y marque les sommets de *F*. Cette étape correspond au calcul de  $Attr_p^0(F)$ .

On initialise ensuite la liste *attractor\_new*. Cette liste va contenir, après chaque itération de la boucle principale, les sommets qui ont été ajoutés à l'attracteur lors de cette itération. On ajoute initialement les sommets de *F* à cette liste car  $Attr_p^0(F)$  est déjà calculé.

---

```

15:   while attractor_new non-vide and i  $\neq$  0 do ▷ Calcul de l'attracteur
16:       to_check  $\leftarrow$  attractor_new
17:       attractor_new  $\leftarrow$  []
18:       for index in to_check do
19:           for pred in G.predecessors[index] do
20:               if attractor[pred] = 0 then
21:                   if G.players[pred] = p then
22:                       attractor_new.append(pred)
23:                   else
24:                       out_degrees[pred]  $\leftarrow$  out_degrees[pred] - 1
25:                       if out_degrees[pred] = 0 then
26:                           attractor_new.append(pred)
27:                       end if
28:                   end if
29:               end if
30:           end for
31:       end for
32:       for index in attractor_new do
33:           attractor[index]  $\leftarrow$  1
34:       end for
35:       i  $\leftarrow$  i - 1
36:   end while
37:   return attractor
38: end procedure

```

---

La boucle principale de cet algorithme se base sur la construction par in-

duction de  $Attr_{j_n}^i(F)$ . On y retrouve les 3 éléments de l'union qui constitue  $Attr_{j_n}^{i+1}(F)$  :

- $Attr_{j_n}^i(F)$  se retrouve à la ligne 32. A chaque étape on ne crée pas un nouvel attracteur mais on marque dans *attractor* les nouveaux sommets présents dans *attractor\_new*.
- $\{v' \in V_n \mid \exists(v, v') \in E : v \in Attr_{j_n}^i(F)\}$ . Dans la boucle intérieure, ligne 21, si un prédécesseur du noeud en cours de traitement appartient au joueur cible, alors il est ajouté à *attractor\_new* afin d'être ajouté à l'attracteur.
- $\{v' \in V \setminus V_n \mid \forall(v, v') \in E : v \in Attr_{j_n}^i(F)\}$ . Dans la boucle intérieure, ligne 23, si un prédécesseur du noeud en cours de traitement n'appartient pas à  $p$ , alors il est ajouté à l'attracteur si tous ses successeurs sont aussi dans l'attracteur. C'est à cette étape que le pré-traitement joue un rôle. A chaque fois qu'un noeud est rencontré dans la liste des prédécesseurs d'un autre noeud, on décremente la valeur correspondante dans *out\_degrees*. Si cette valeur atteint 0, cela veut dire que tous les successeurs de ce noeud font partie de l'attracteur (car on ne visite les prédécesseurs d'un noeud que s'il a été ajouté à l'attracteur et on y ajoute chaque noeud qu'une fois). On peut donc l'ajouter à son tour à l'attracteur.

Le calcul s'arrête quand aucun noeud n'est ajouté à l'attracteur au cours d'une itération (*attractor\_new* est vide). Cela veut dire que le point fixe de la séquence d'attracteur  $Attr_p^0(F) \subseteq Attr_p^1(F) \subseteq \dots$  est atteint et que l'attracteur complet a été calculé.

L'algorithme peut aussi retourner le  $i^e$  attracteur si on lui passe en argument une valeur de  $i$  positive (et inférieure au nombre d'itération qu'il faut pour atteindre le point fixe). En effet,  $i$  intervient dans le calcul de la condition d'arrêt. Celui-ci est décrémenté à chaque nouvel attracteur calculé. Cependant, la condition d'arrêt ne vérifie que si  $i \neq 0$ . Une valeur négative de  $i$  en entrée assurera donc le calcul de l'attracteur complet, car celui-ci ne causera pas l'arrêt de la boucle principale.

### 3.2.1 Complexité

Considérons un graphe  $G$  possédant  $n$  noeuds et  $m$  arêtes. Alors l'algorithme *Attractor* possède une complexité dans le pire des cas en  $O(n + m)$ .

**Preuve.** Afin de calculer la complexité totale de l'algorithme, intéressons-nous à la complexité des 3 boucles principales :

— *Pré-traitement*

Le calcul du demi-degré extérieur à l'aide d'une structure de données telle que décrite dans l'entête de l'algorithme se fait en temps  $O(m)$ . En

effet il s'agit d'itérer sur la liste de prédécesseurs et, pour chaque noeud rencontré, incrémenter son demi-degré extérieur. Les graphes possédant  $m$  arêtes, il y aura au plus  $m$  éléments dans la liste des prédécesseurs.

— *Initialisation*

Cette étape se fait en temps  $O(n)$  car il y a au plus  $n$  noeuds dans le graphes, donc pour lesquels on souhaite construire l'attracteur.

— *Calcul de l'attracteur*

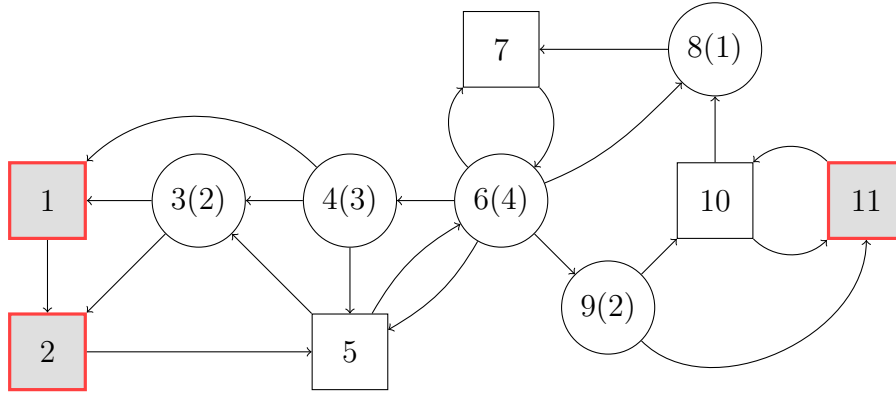
Considérons une valeur de  $i$  négative pour le pire des cas. Il y aura au maximum  $n$  passages dans la boucle extérieure (ligne 15) car, à chaque étape, *attractor\_new* doit contenir au moins un noeud de  $G$  hors de l'attracteur courant. L'évaluation de la condition d'arrêt se fait en  $O(1)$ . La boucle à la ligne 18 itère sur les noeuds d'*attractor\_new* et, pour chacun d'entre eux, la boucle à la ligne 19 va itérer sur ses prédécesseurs. Toutes les opérations à l'intérieur de cette boucle sont en temps constant  $O(1)$ . On a donc que, dans le pire des cas, l'algorithme va effectuer des opérations en  $O(1)$  pour chaque prédécesseur de chaque noeud de  $G$ . Finalement, la boucle à la ligne 32 effectuera dans le pire des cas  $n$  fois une opération en  $O(1)$ , car au plus  $n$  noeuds seront ajoutés à l'attracteur. Cela nous donne une complexité en  $O(n \text{ (évaluation de la condition d'arrêt)} + m \text{ (boucle intérieure)} + n \text{ (ajout à l'attracteur)}) = O(2n + m) = O(n + m)$ .

Nous obtenons donc une complexité totale de  $O(n + m + (n + m)) = O(2(n + m)) = O(n + m)$ .  $\square$

### 3.2.2 Exemple

Afin d'illustrer le fonctionnement de l'algorithme, considérons l'arène de la figure 2.1 et calculons l'attracteur pour le joueur  $j_0$  avec  $F = \{1, 2, 11\}$ , dans le but de calculer les ensembles gagnants des deux joueurs pour un jeu d'atteignabilité. Supposons  $i$  négatif afin de calculer l'attracteur complet.

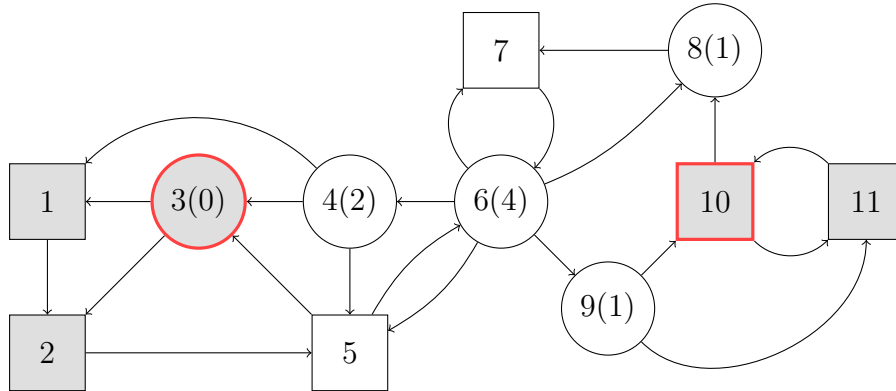
L'étape de pré-traitement sera rendue visuelle en ajoutant aux noeuds de  $j_1$  la valeur correspondant dans le tableau *out\_degrees*. Les noeuds faisant partie de l'attracteur courant *attractor* seront colorés en gris et ceux étant ajoutés à l'attracteur à l'itération précédente (les noeuds de la liste *attractor\_new*) seront entourés en rouge. Nous obtenons donc, avant l'entrée dans la boucle principale de l'algorithme, la représentation suivante :



Nous avons donc bien  $Attr_{j_0}^0(F) = \{1, 2, 11\}$ .

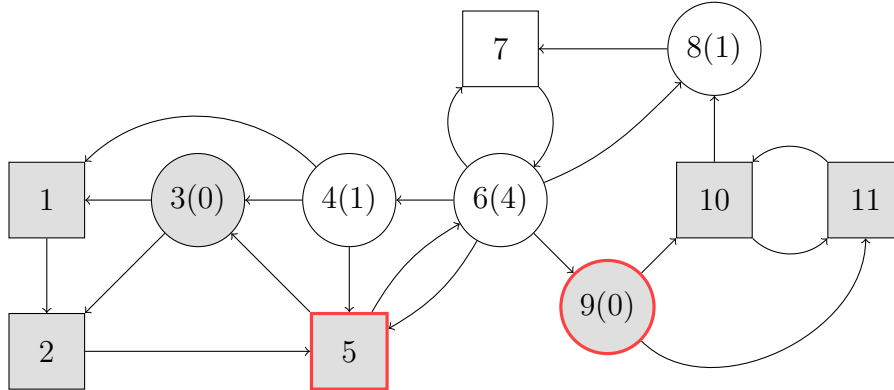
La première itération du calcul de l'attracteur va ajouter les noeuds 3 et 10 à l'attracteur. En effet, la valeur de *out\_degrees* de 3 va être décrémentée deux fois, une fois en suivant les prédécesseurs de 1 et une autre fois en suivant ceux de 2. Cette valeur atteignant 0, il sera ajouté à l'attracteur. La valeur de *out\_degrees* de 4 sera aussi décrémentée une fois en partant de 1. Le cas de 10 est plus trivial, il appartient à  $j_0$  et a été rencontré en suivant les prédécesseurs de 11, il est donc ajouté à l'attracteur. La valeur de *out\_degrees* de 9 est elle aussi décrémentée car le noeud 9 est un prédécesseur de 11. Nous obtenons donc la représentation suivante :





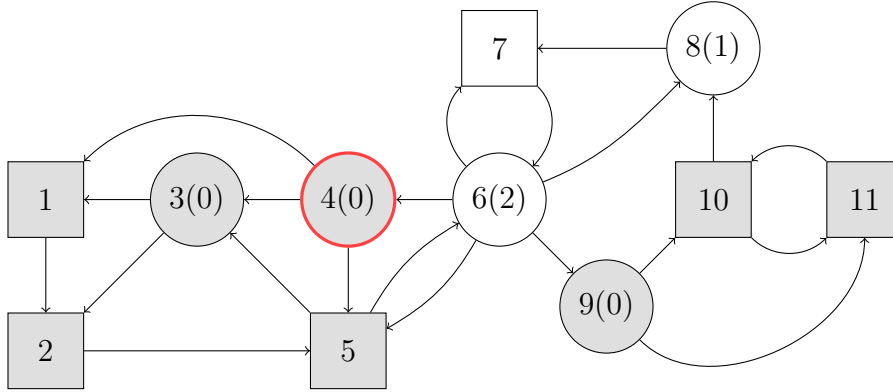
Qui correspond à  $Attr_{j_0}^1(F) = \{1, 2, 3, 10, 11\}$ .

5 possède maintenant un successeur dans l'attracteur, il y sera donc ajouté à l'étape suivante. La valeur de *out\_degrees* de 4 est décrémentée une fois, car il est prédécesseur de 3. Le noeud 9 est atteint une deuxième fois, cette fois depuis 10. Sa valeur de *out\_degrees* passant à 0, il est ajouté à l'attracteur.



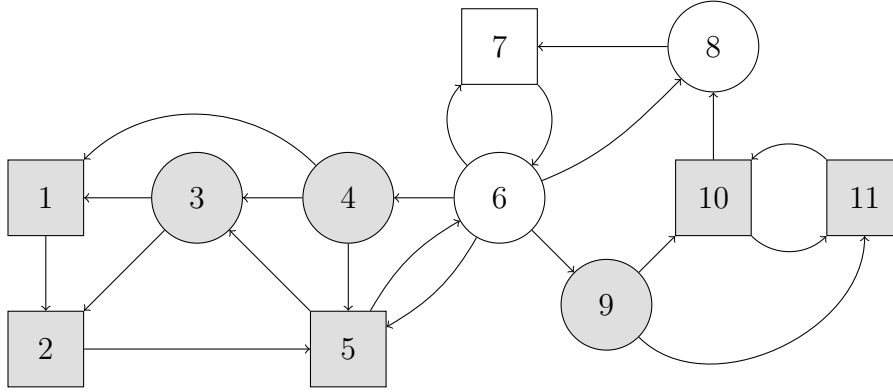
Nous obtenons  $Attr_{j_0}^2(F) = \{1, 2, 3, 5, 9, 10, 11\}$

4 est atteint une dernière fois car il est prédécesseur de 5. Sa valeur de *out\_degree* passant à 0, il est ajouté à l'attracteur. Cette même valeur pour 6 est décrémentée deux fois lors de cette itération car il est successeur de 5 et 9.



On obtient  $Attr_{j_0}^3(F) = \{1, 2, 3, 4, 5, 9, 10, 11\}$

La valeur de *out\_degrees* de 6 est décrémentée une fois car il est prédécesseur de 4. Aucun noeud n'est ajouté à *attractor\_new*, l'algorithme s'arrête.



L'attracteur final calculé par l'algorithme est donc  $Attr_{j_0}^4(F) = Attr_{j_0}^3(F) = Attr_{j_0}(F) = \{1, 2, 3, 4, 5, 9, 10, 11\}$

Cet attracteur correspond à l'ensemble gagnant  $W_0$  du joueur  $j_0$ . Par exemple, si le pion est initialement placé sur le sommet 5, ce sera à  $j_0$  de le déplacer. Selon la stratégie gagnante pour le joueur  $j_0$  décrite dans la section précédente, celui-ci déplacera le pion vers 3. Le coup suivant sera décidé par le joueur  $j_1$ . Celui-ci n'aura pas le choix et devra déplacer le pions sur un sommet de  $F$  : 1 ou 2. Le joueur  $j_0$  gagne la partie.

L'ensemble  $W_1 = \{6, 7, 8\}$  est donc l'ensemble gagnant du joueur  $j_1$ . Si le pion est initialement placé sur un sommet de cet ensemble, alors  $j_1$  gagne. Par exemple, le pion placé initialement sur 6 sera déplacé par le joueur  $j_1$  vers 7 (en passant éventuellement par 8 selon la stratégie gagnante pour le joueur  $j_1$  car ni 7 ni 8 ne font partie de l'attracteur). Le joueur  $j_0$  déplacera le pion de 7 vers 6 et la partie consistera en une répétition infinie de coups entre 6, 7 et 8.

Cet attracteur permet de résoudre un jeu d'atteignabilité avec  $F = \{1, 2, 11\}$  et donc, par le théorème 3.1.2, permettrait aussi de résoudre un jeu de sûreté avec comme ensemble de sommets sûrs  $G = V \setminus F$  pour le joueur  $j_1$ .

## **Chapitre 4**

### **Cas infini**

# Conclusion

Mettez votre conclusion ici. Dressez le bilan de votre travail effectué, en prenant du recul. Discuter de si vous avez bien réussi les objectifs du travail ou non. Présentez les perspectives futurs.

# Bibliographie

- [1] W. Thomas. Church's problem and a tour through automata theory. Master's thesis, RWTH Aachen, Lehrstuhl Informatik 7, 52056 Aachen, Germany, 2008.

## **Annexe A**

### **Première annexe**

## **Annexe B**

### **Deuxième annexe**